

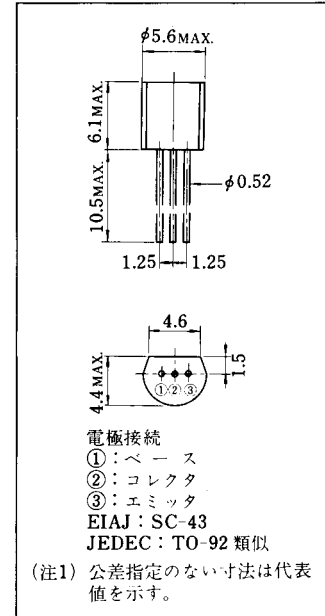
## 低周波電力増幅用

- コレクタ損失が大きい ( $P_C=500\text{mW}$ )。
- 大電流での  $h_{FE}$  の低下が少ない ( $I_C=-700\text{mA}$ )。
- 2SC1209 とコンプリメンタリで使用するのに最適です。

最大定格 (周囲温度  $25^\circ\text{C}$ )

| 項 目          | 記 号       | 定 格 値    | 単 位              |
|--------------|-----------|----------|------------------|
| コレクタ・ベース間電圧  | $V_{CBO}$ | -25      | V                |
| エミッタ・ベース間電圧  | $V_{EBO}$ | -4       | V                |
| コレクタ・エミッタ間電圧 | $V_{CEO}$ | -20      | V                |
| せん頭コレクタ電流    | $I_{CM}$  | -1000    | mA               |
| コレクタ電流       | $I_C$     | -700     | mA               |
| コレクタ損失       | $P_C$     | 500      | mW               |
| 接合部温度        | $T_j$     | +125     | $^\circ\text{C}$ |
| 保存温度         | $T_{stg}$ | -55~+125 | $^\circ\text{C}$ |

外形図 単位: mm

電気的特性 (周囲温度  $25^\circ\text{C}$ )

| 項 目           | 記 号           | 測 定 条 件  | 最 小 | 標 準 | 最 大  | 単 位           |
|---------------|---------------|--|-----|-----|------|---------------|
| コレクタ・ベース降伏電圧  | $V_{(BR)CBO}$ | $I_C = -10\mu\text{A}, I_E = 0$                  | -25 | —   | —    | V             |
| エミッタ・ベース降伏電圧  | $V_{(BR)EBO}$ | $I_E = -10\mu\text{A}, I_C = 0$                  | -4  | —   | —    | V             |
| コレクタ・エミッタ降伏電圧 | $V_{(BR)CEO}$ | $I_C = -100\mu\text{A}, R_{BE} = \infty$         | -20 | —   | —    | V             |
| コレクタしゃ断電流     | $I_{CBO}$     | $V_{CB} = -25\text{V}, I_E = 0$                  | —   | —   | -1   | $\mu\text{A}$ |
| エミッタしゃ断電流     | $I_{EBO}$     | $V_{EB} = -2\text{V}, I_C = 0$                   | —   | —   | -1   | $\mu\text{A}$ |
| 直流電流増幅率       | $h_{FE}$      | $V_{CE} = -1\text{V}, I_C = -500\text{mA}$ (パルス) | 55  | 100 | 300  | —             |
| コレクタ・エミッタ飽和電圧 | $V_{CE(sat)}$ | $I_C = -500\text{mA}, I_E = -25\text{mA}$        | —   | —   | -0.5 | V             |
| 利得帯域幅積        | $f_T$         | $V_{CE} = -6\text{V}, I_E = 10\text{mA}$         | —   | 150 | —    | MHz           |

$h_{FE}$  の値により下表のようにアイテム分類を行なっています。

| アイテム     | C      | D      | E       |
|----------|--------|--------|---------|
| $h_{FE}$ | 55~110 | 90~180 | 150~300 |